

บทที่ 2

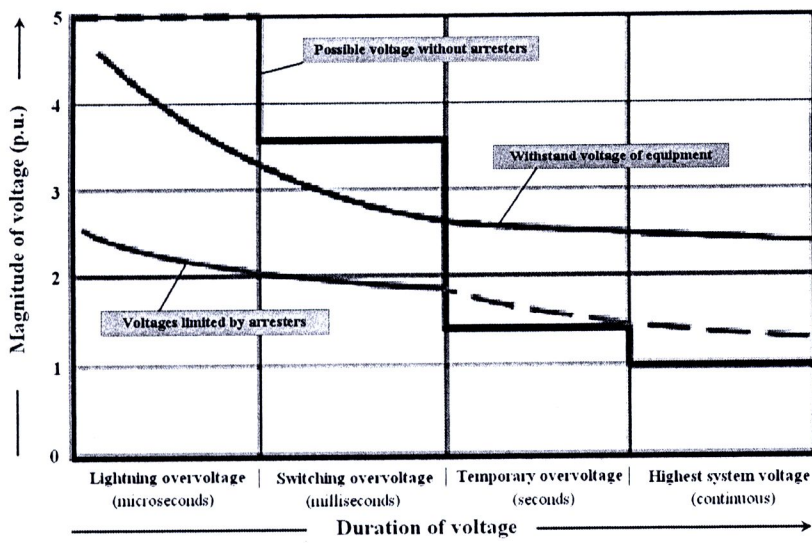
วรรณกรรมและงานวิจัยที่เกี่ยวข้อง

2.1 โครงสร้างของกับดักเสิร์จแบบ ZnO ที่ใช้ป้องกันระบบกำลังไฟฟ้า

2.1.1 โครงสร้างทางกายภาพของกับดักเสิร์จแบบ ZnO

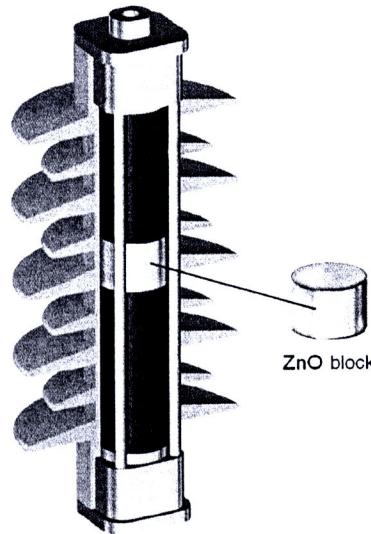
แรงดันเกินในระบบกำลังไฟฟ้าเป็นผลเนื่องมาจากการฟ้าผ่า (lightning) การเกิดฟอลท์ (fault) หรือการปลดสัมสวิตช์ (switching operation) ในระบบ แรงดันเกินจากสาเหตุเหล่านี้อาจมีค่าสูงจนเป็นอันตราย ทำให้เกิดความเสียหายต่ออุปกรณ์ต่างๆ ในระบบกำลังไฟฟ้า เพื่อเป็นการป้องกันอุปกรณ์ไฟฟ้า และเพื่อทำให้เกิดความน่าเชื่อถือว่าระบบไฟฟ้าจะมีความมั่นคง ไม่ก่อให้เกิดความเสียหายทางเศรษฐกิจจากการขาดหายการให้บริการของระบบกำลังไฟฟ้า กับดักเสิร์จจึงถูกนำมาติดตั้งใช้งานในเกือบทุกส่วนของระบบโครงข่ายกำลังไฟฟ้า (electrical power network) เพื่อป้องกันปัญหาเหล่านี้ ในปัจจุบันกับดักเสิร์จแบบไม่มีแก็ปชนิดซิงค์ออกไซด์ (gapless zinc oxide-ZnO) ถูกนำมาใช้เพื่อการนี้อย่างกว้างขวาง โดยปกติกับดักเสิร์จจะถูกติดตั้งไว้ระหว่างเฟสกับระบบกราวด์ (grounding system) ซึ่งจะทำหน้าที่จำกัดแรงดันที่จ่ายให้กับอุปกรณ์ เช่น หม้อแปลงไฟฟ้า ให้อยู่ในระดับที่ต่ำกว่าค่าแรงดันคงที่ของฉนวน (withstand voltage level)

รูปที่ 2.1 แสดงค่าในหน่วยเบอร์ยูนิต (per unit) ของแรงดันเกินที่มีโอกาสเข้าไปสูงสุด เมื่อไม่มีกับดักเสิร์จติดตั้งใช้งานอยู่ ในแกนเวลาจะแบ่งเป็นช่วงแรงดันเกินในย่านต่างๆ ได้แก่ แรงดันเกินจากฟ้าผ่า (lightning surge) ในย่านเวลาเป็นไมโครวินาที (μsec) แรงดันเกินจากการปลดสัมสวิตช์หรือแรงดันเกินสวิตช์ (switching surge) ในย่านเวลาเป็นมิลลิวินาที (msec) และการเกิดแรงดันเกินชั่วคราวในย่านเวลาเป็นวินาที (sec) ในกรณีของแรงดันเกินเนื่องมาจากการฟ้าผ่า และแรงดันเกินจากการปลดสัมสวิตช์ ขนาดของแรงดันเกินจะมีค่าหลายเบอร์ยูนิต เมื่อเทียบกับแรงดันของระบบที่เป็นค่าอ้างอิง (reference base) กับดักเสิร์จจะทำหน้าที่จำกัดแรงดันเกินให้มีค่าต่ำกว่าแรงดันคงที่ของอุปกรณ์ในระบบ โดยกับดักเสิร์จจะนำกระแสเนื่องจากแรงดันเกินจากปรากฏการณ์ดังที่กล่าวมาแล้วในข้างต้นผ่านลงดิน ดังนั้นจึงเห็นได้ชัดเจนถึงความสำคัญของกับดักเสิร์จในการป้องกันแรงดันเกิน โดยเฉพาะอย่างยิ่งแรงดันเกินจากฟ้าผ่า และแรงดันเกินจากการปลดสัมสวิตช์



รูปที่ 2.1 กราฟแสดงขนาดของแรงดันเกินในย่านต่างๆ [14]

โครงสร้างของคัพเคิร์จชนิด ZnO เป็นโครงสร้างอย่างง่าย โดยพื้นฐานประกอบด้วยเปลือกจนวน เป็นโครงสร้างภายนอก (insulating housing) ทำจากพอร์ซเลน (porcelain) หรือโพลีเมอร์ (polymeric material) และ ส่วนทำงานภายใน (inner active column) ซึ่งประกอบด้วยวาริสเตอร์ชนิด ZnO (zinc oxide varistors) วางอัดซ้อนกัน ดังแสดงในรูปที่ 2.2



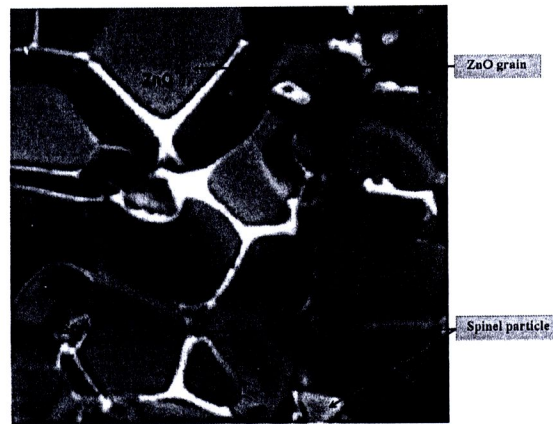
รูปที่ 2.2 แสดงภาพตัดของคัพเคิร์จชนิด ZnO โครงสร้างภายนอกทำจากโพลีเมอร์ สำหรับแรงดันระบบจำหน่าย [31]

วาริสเตอร์บล็อกอัลิเมนท์ชนิด ZnO (ZnO varistor block elements) เป็นส่วนประกอบหลักของกับดักเสิร์จชนิด ZnO ซึ่งจะทำให้เกิดคุณลักษณะที่ไม่เป็นเส้นตรง (non-linear characteristics) ตามต้องการ และมีความสัมพันธ์ที่แนบแน่นกับอุณหภูมิในย่านกระแสต่ำ (low current range) คุณลักษณะความต้านทานที่ไม่เป็นเส้นตรง (non-linear resistivity) เป็นคุณสมบัติตามธรรมชาติ ของความต้านทานแบบเซรามิกผสม (composite ceramic resistor) ทั้งหมดซึ่งมี ZnO เป็นองค์ประกอบหลัก เทียบกับปริมาณส่วนผสมอื่นๆ ที่เพิ่มลงไป (additives) อันได้แก่ Bi_2O_3 , CoO_2 , MnO_3 , และ Sb_2O_3 [15, 16] ส่วนผสมต่างๆ เหล่านี้มีความจำเป็นเพื่อให้ได้คุณสมบัติทางไฟฟ้า (electric properties) ตามต้องการ

2.1.2 คุณสมบัติทางแรงดันและกระแสของวาริสเตอร์บล็อกชนิด ZnO

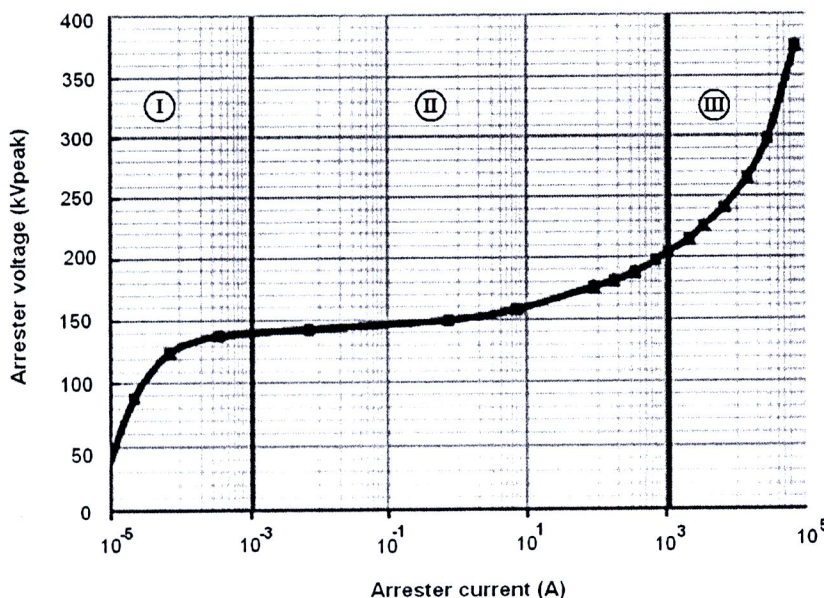
โครงสร้างของกับดักเสิร์จชนิด ZnO ซึ่งประกอบด้วย ZnO ความบริสุทธิ์สูงเป็นส่วนประกอบหลัก และสารเจือปนจำานวนน้อย คือ ออกไซด์ของ bismuth (Bi), cobalt (Co), manganese (Mn), antimony (Sb) และอื่นๆ ส่วนประกอบทั้งหมดจะถูกผสมให้เข้ากันเป็นเม็ด (granulated) อัดขึ้นรูปเป็นแผ่น (pressed disc) นำไปผ่านกรรมวิธีพิเศษเพื่อสร้างชั้นความต้านทานสูง (high-resistance layers) บนทุกด้านของชิ้นส่วน และสุดท้ายนำไปเผา (sintered) ที่อุณหภูมิสูงกว่า 1000°C อัตราส่วนผสม (blend ratio) ของ ZnO และส่วนผสมอื่น (additives) ไม่คงที่ แต่โดยทั่วไปจะอยู่ที่ประมาณ 9:1 [22] โครงสร้างจุลภาค (microstructure) ของชิ้นส่วนที่ได้นี้สามารถเห็นได้จากภาพ ซึ่งถ่ายด้วยกล้องอิเล็กตรอน EMPA (Electron Probe Micro Analyzer) ดังแสดงในรูปที่ 2.3 ซึ่งจะสามารถมองเห็นเกรนของ ZnO ขนาด 1 ถึง $10 \mu\text{m}$ ชั้นของขอบเกรน (intergranular) ประกอบด้วย Bi_2O_3 เป็นหลัก และสปินেล (spinel) $\text{An}_7\text{Sb}_2\text{O}_{12}$ กระจายอยู่ในวงรอบของเกรน (grain boundary)

คุณลักษณะแบบไม่เป็นเส้นตรงที่ดี ทางแรงดันและกระแส (voltage-current nonlinear characteristics) ของอัลิเมนท์ จะเนื่องมาจากการอยู่ต่อ (junction) ของเกรน ZnO และชั้นของขอบเกรน (intergranular layer) ซึ่งประกอบด้วย Bi_2O_3 เป็นหลัก ขณะที่ความต้านทานจำเพาะ (specific resistivity) ของเกรน ZnO มีค่าอยู่ระหว่าง 1 ถึง $10 \Omega\text{cm}$ ชั้นของขอบเกรน (intergranular layer) จะมีความต้านทานจำเพาะสูงถึง $10^{10} \Omega\text{cm}$ ดังนั้นแรงดันเกือบทั้งหมดที่จ่ายเข้าไปที่อัลิเมนท์ จะรวมกันอยู่ (concentrated) บนชั้นของขอบเกรน ซึ่งมีความต้านทานสูง (high-resistivity) ที่เคลื่อนร (layer) นี้ จะควบคุมให้เกิดคุณลักษณะไร้ความต้านทาน (non ohmic characteristic) ซึ่งความต้านทานจะลดลงแบบเฉียบพลัน (decreases suddenly) เมื่อแรงดันที่ป้อนให้เพิ่มจนถึงค่าทำงานค่าหนึ่ง



รูปที่ 2.3 ภาพขยายจากกล้องอิเล็กตรอนแสดงส่วนประกอบโครงสร้างของกับดักเสรจ์ชนิด ZnO [3]

คุณลักษณะเฉพาะทาง แรงดันและกระแส (voltage-current characteristic) ของเตายอร์นีจะมีลักษณะไม่เป็นเชิงเด่นตรง (non-linearity) ตลอดช่วงกระแสตั้งแต่ $10 \mu\text{A}$ จนถึง 10kA ความไม่เป็นเชิงเด่นตรงของอิลิเมนท์นี้ เนื่องมาจากการผสมผสานกัน (combination) ของจำนวน (ในที่นี้คือ intergranular layer) และเกรนของ ZnO รูปที่ 2.4 แสดงคุณลักษณะทาง แรงดันและกระแส ของ ZnO อิลิเมนท์ซึ่งถูกแบ่งออกเป็น 3 ช่วง คือ ย่านกระแสต่ำ (region I) ย่านการทำงาน (region II) และย่านกระแสสูง (region III)



รูปที่ 2.4 คุณลักษณะเฉพาะทางแรงดันและกระแสของ ZnO อิลิเมนท์ [15, 16]

ความสัมพันธ์ระหว่างความเข้มของกระแสและสนามไฟฟ้า (current density-electric field) J-E ในย่านกระแสต่ำ (region I) จากมุมมองทางกายภาพ (physical point of view) สามารถแสดงได้ดังนี้

$$J = J_0 \exp\left(-\frac{\phi - \beta E^0 .5}{kT}\right) \quad (2.1)$$

เมื่อ $\beta = (e^{0.75\pi} \varepsilon \cdot \varepsilon_0)$, ϕ คือ potential barrier (\AA), E คือ electric field intensity (V/m), k คือ Boltzmann constant, T คือ absolute temperature ($^\circ\text{K}$), e คือ electron charge (C), ε_0 คือ vacuum dielectric permittivity, และ ε คือ relative permittivity ของ barrier substance สมการที่ (2.1) แสดงให้เห็นโดยชัดเจนว่า ในย่านกระแสต่ำ (region I) คุณลักษณะของ ZnO อิเล็กทรอนิกส์ (characteristics) จะเปลี่ยนแปลงไปตามค่าอุณหภูมิ T เมื่อจ่ายแรงดันที่ความถี่ใช้งาน (line-frequency voltage) ให้กับดักเสร็จชนิด ZnO ที่ย่านนี้ จึงมีนัยที่จะต้องให้ความสนใจเป็นพิเศษกับการเปลี่ยนแปลงคุณสมบัติ (characteristic change) ต่อระยะเวลาที่จ่ายแรงดัน (energized time) และความอ่อนไหวต่ออุณหภูมิ (temperature dependence) ของ ZnO อิเล็กทรอนิกส์

ในย่านการทำงาน (region II) จะพิจารณาให้คำว่าความเข้มของกระแส (current density) เป็นสัดส่วน (proportional) กับความเข้มของสนามไฟฟ้า (electric field intensity) ซึ่งสามารถอธิบายด้วย Fowler-Nordheim tunnel effect

$$J = J_0 \exp\left(\frac{\gamma}{E}\right) \quad (2.2)$$

เมื่อ $\gamma = \frac{4(2m)^{\frac{1}{2}}}{3he}$, m คือ electron mass, และ $h = \hat{h}/2\pi$ โดยที่ \hat{h} คือ Planck's constant ความไม่เป็น

เชิงเส้นตรง (nonlinearity) ตามปกติจะได้จากสมการซึ่งมาจากการทดลอง (experimental expression)

$$I = CV^\alpha \quad (2.3)$$

เมื่อ α คือ nonlinear exponent และ C เป็นค่าคงที่ ในการนำกับดักเสร็จชนิด ZnO ไปใช้งาน ย่านการทำงาน (region II) นี้ จะมีความสัมพันธ์กับคุณลักษณะทางการป้องกัน (protective characteristics) เมื่อมีกระแสอิมเพลส์ (impulse current) ไหลผ่านกับดักเสร็จ ยิ่ง α มีค่ามาก ก็ยิ่งทำให้คุณลักษณะทางการป้องกันดีมากขึ้นตามไปด้วย ในย่านกระแสสูง (region III) ค่าความต้านทานของเกรน ZnO จะถูกครอบงำ (dominant) และจะได้ characteristic ตามสมการ

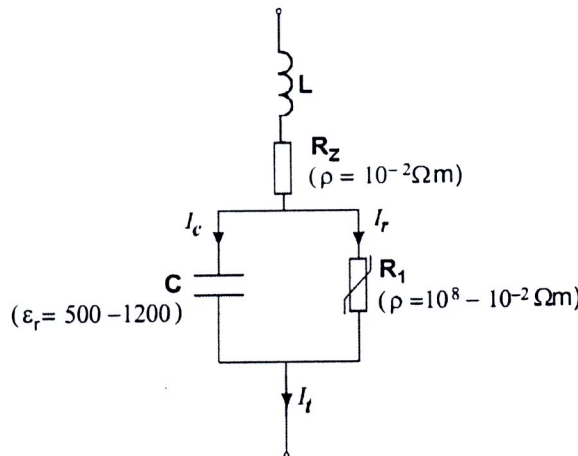
$$V \approx KI \quad (2.4)$$

เมื่อ K เป็นค่าความต้านทานของเกรน ZnO



2.1.3 แบบจำลองของ ZnO arrester

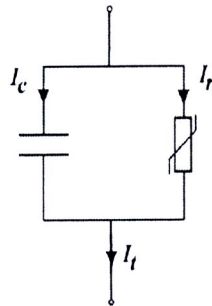
คุณลักษณะที่ไม่เป็นเชิงเส้นตรง ระหว่างแรงดันและกระแส (non-linear voltage-current characteristic) ของกับดักเสริจชนิด ZnO ในย่านการทำงานกระแสต่ำ (region I) แสดงให้เห็นตามรูปที่ 2.5 [4, 5] ความต้านทาน R_1 จะแทนความต้านทานไม่เป็นเชิงเส้นตรง ของชั้นเกรน (granular layers) เมื่อค่าความต้านทานจำเพาะ (specific resistivity) ρ มีการเปลี่ยนแปลงจาก $10^8 \Omega\text{m}$ สำหรับสนามไฟฟ้าที่มีความเครียดต่ำ (low electric field stress) ไปจนถึงต่ำกว่า $0.01 \Omega\text{m}$ สำหรับสนามไฟฟ้าที่มีความเครียดสูง (high electric field stress) ในแบบจำลอง ค่าปารามิเตอร์ที่ใช้คือ C จะแทนค่าค่าปารามิเตตันซ์ระหว่างชั้นชั้นเกรน ซึ่งมีค่าคงที่โดยอิเล็กทริก สัมพัทธ์ (relative dielectric constant) ระหว่าง 500 ถึง 1200 ขึ้นอยู่กับกระบวนการในการผลิต R_Z คือค่าความต้านทานของเกรน ZnO ซึ่งมีค่าความต้านทานจำเพาะประมาณ $0.01 \Omega\text{m}$ เพื่อที่จะนำไปใช้อัตราการเพิ่ม (rate of rise effects) เข้าไว้ด้วย จึงนำอนดักเตอร์มาต่ออนุกรมไว้ดังแสดงในรูปที่ 2.5 ซึ่งค่า L หาได้จากการทางเรขาคณิตในเส้นทางการไฟของกระแส



รูปที่ 2.5 วงจรเทียบเคียงทางไฟฟ้าของ ZnO อิลิเมนท์

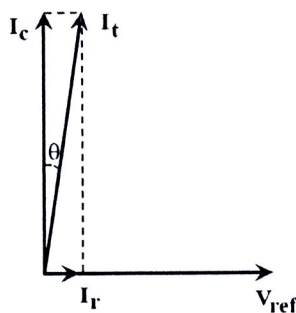
เมื่อค่า R_1 และ C เป็นคงที่ กระแสตัวค่าปารามิเตตัน (I_c) และกระแสตัวค่าความต้านทาน (I_r) ก็จะเปลี่ยนแปลงตามไปด้วย โดยเป็นที่ทราบกันว่าส่วนประกอบกระแสหาร์โนนิกที่ลำดับ 3 ของกระแสตัวค่าปารามิเตตันที่ให้ผ่านกับดักเสริจ จะมีความสัมพันธ์โดยตรงกับระดับการเสื่อมสภาพของกับดักเสริจชนิด ZnO [12, 7, 13, 18] ในย่านกระแสต่ำค่า R_Z จะมีค่าน้อยกว่า R_1 มาก และเมื่อไม่นำค่า L มาพิจารณา ดังนั้นในย่านแรงดันใช้งานต่อเนื่อง (continuous operating voltage) จะได้แบบจำลองของกับดักเสริจชนิด ZnO ซึ่งประกอบด้วย non-linear resistor ต่อขนานกับ linear capacitive element ดังแสดงในรูปที่ 2.6 [1, 2]

สำนักงานคณะกรรมการวิจัยแห่งชาติ
ห้องสมุดงานวิจัย
วันที่..... 29 พ.ย. 2555
เลขทะเบียน..... 250754
หมายเหตุ.....
หมายเหตุ.....



รูปที่ 2.6 วงจรเทียบเคียงอย่างง่ายของกับดักเสิร์จชนิด ZnO

กระแสรั่วไฟฟ้ารวม I_t ของกับดักเสิร์จ เป็นผลรวมทางเวกเตอร์ของ ส่วนประกอบกระแสรั่วคาป่าซิติฟ I_c ซึ่งไม่เปลี่ยนแปลงตามความเสื่อมสภาพของกับดักเสิร์จ และส่วนประกอบกระแสรั่วความต้านทาน I_r ซึ่งมีการเปลี่ยนแปลงค่าไปตามความเสื่อมสภาพของกับดักเสิร์จ รูปที่ 2.7 แสดงความสัมพันธ์ทางมุมไฟฟ้า ของเวกเตอร์กระแสทั้งหมด



รูปที่ 2.7 แสดงเวกเตอร์ไดอะแกรมของ I_t , I_c , I_r และแรงดันข้างอิง

จากเวกเตอร์ไดอะแกรมดังแสดงในรูปที่ 2.7

$$I_t = I_r + jI_c \quad (2.5)$$

กระแสทั้งหมดจะมีค่าเปลี่ยนแปลงไปตามเวลา (time dependent) ดังนั้นจะเขียนสมการความสัมพันธ์ของกระแส I_t , I_c และ I_r ในไทม์โดเมน (time domain) ได้ดังนี้

$$I_t(t) = I_r(t) + I_c(t) \quad (2.6)$$

ส่วนประกอบของกระแสรั่วความต้านทาน จะหาได้จากการนำส่วนประกอบของกระแสรั่วคาป่าซิติฟ ไปลบออกจากกระแสรั่วไฟฟ้ารวม ตามสมการ

$$I_r(t) = I_t(t) - I_c(t) \quad (2.7)$$

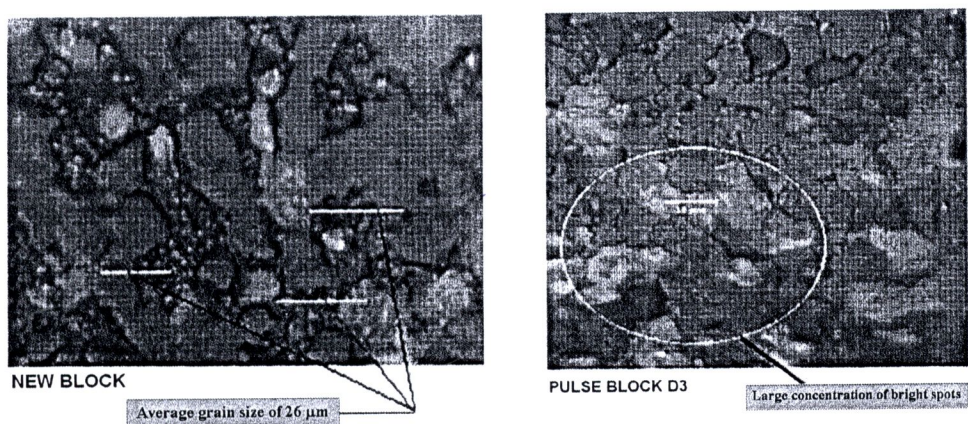
เมื่อจ่ายแรงดันให้กับดักเสิร์จที่ระดับแรงดันใช้งาน (continuous operating voltage) ซึ่งมีค่าประมาณ 80% ของแรงดันพิกัด (rated voltage) จะมีค่ากระแสรั่วไฟฟ้าส่วนใหญ่ผ่านกับดักเสิร์จ ขนาดของกระแสรั่วไฟฟ้าจะขึ้นอยู่กับสภาพของกับดักเสิร์จ กระแสกระแสรั่วไฟฟ้ารวมจะประกอบด้วย ส่วนประกอบของกระแสสถาปัตย์ และส่วนประกอบของกระแสความด้านทาน โดยทั่วไปวาริสเตอร์บล็อกชนิด ZnO จะมีค่าสถาปัตย์เฉพาะเจาะจง (specific capacitance) อยู่ที่ 75 pF kV/cm^2 และมีค่ากระแสสถาปัตย์พออยู่ในช่วง 0.2 ถึง 3 mA ขึ้นอยู่กับขนาดเด็นผ่าศูนย์กลางของวาริสเตอร์บล็อก สำหรับกับดักเสิร์จ ที่ประกอบเสร็จเรียบร้อยแล้ว ค่ากระแสสถาปัตย์จะขึ้นอยู่กับ จำนวนคอลัมน์ ของวาริสเตอร์ (varistor columns) ที่นำมาต่อขานกัน ค่าสเตรบ์สถาปัตย์ (stray capacitance) และแรงดันใช้งานจริง (actual operating voltage)

2.2 รูปแบบการเสื่อมสภาพและความเสียหายของกับดักเสิร์จแบบ ZnO

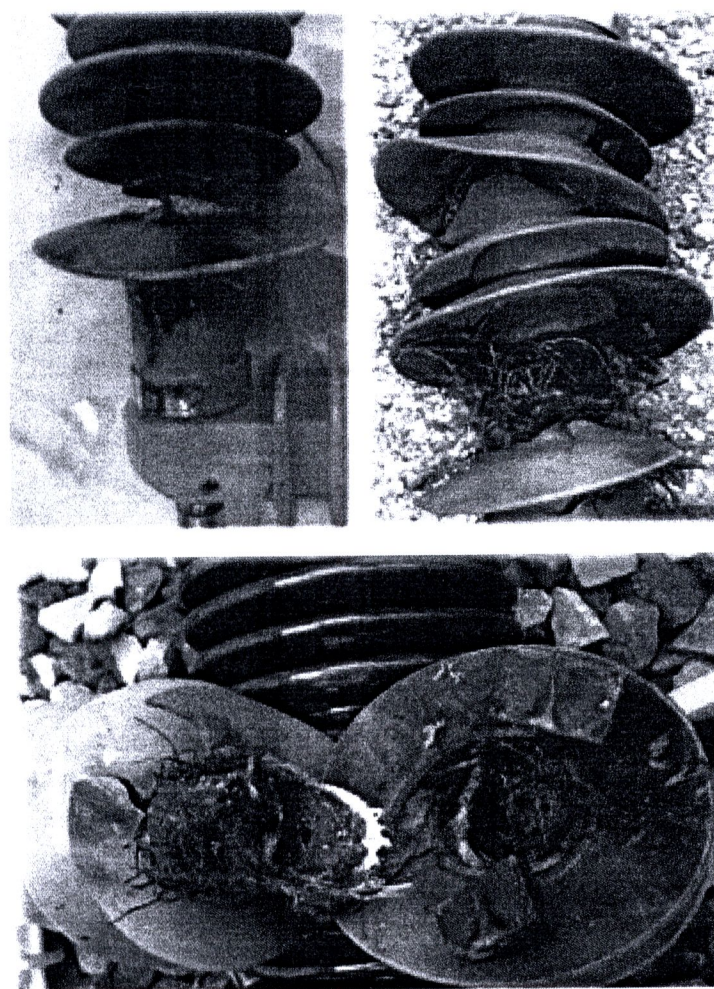
จากการเก็บข้อมูลภาคสนามและการศึกษาวิจัยมีพบว่า ความเสียหายของกับดักเสิร์จ เป็นผลมาจากการเสื่อมสภาพจากการใช้งานของเนื้อสาร ZnO ที่ใช้ทำวาริสเตอร์บล็อก (varister block) ทำให้ค่าความด้านทานของวาริสเตอร์บล็อกลดลง และมีกระแสรั่วไฟฟ้าเพิ่มมากขึ้น เป็นผลให้ความร้อนจากความสูญเสียเพิ่มมากขึ้น จนในที่สุดจะเกิดความเสียหายของกับดักเสิร์จตามมา รูปที่ 2.8 แสดงสภาพความเสียหายของ ZnO บล็อก ซึ่งติดตั้งอยู่ภายในกับดักเสิร์จ รูปที่ 2.9 ภาพขยายแสดงการเปลี่ยนแปลงโครงสร้างจุลภาพของบล็อก ZnO ก่อนใช้งานและหลังจากมีกระแสจากแรงดันพัลส์ไฟฟ้าผ่าน รูปที่ 2.10 – 2.12 แสดงความเสียหายของกับดักเสิร์จที่ได้จากการเก็บข้อมูลภาคสนาม



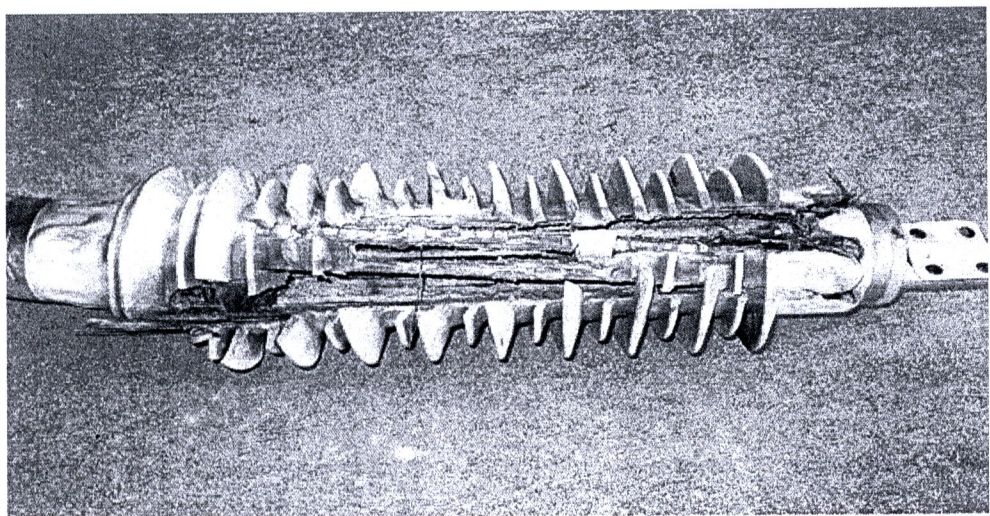
รูปที่ 2.8 สภาพความเสียหายของ ZnO บล็อก ซึ่งติดตั้งอยู่ภายในกับดักเสิร์จ
ที่มา : กองวิจัย การไฟฟ้าส่วนภูมิภาค, 2010



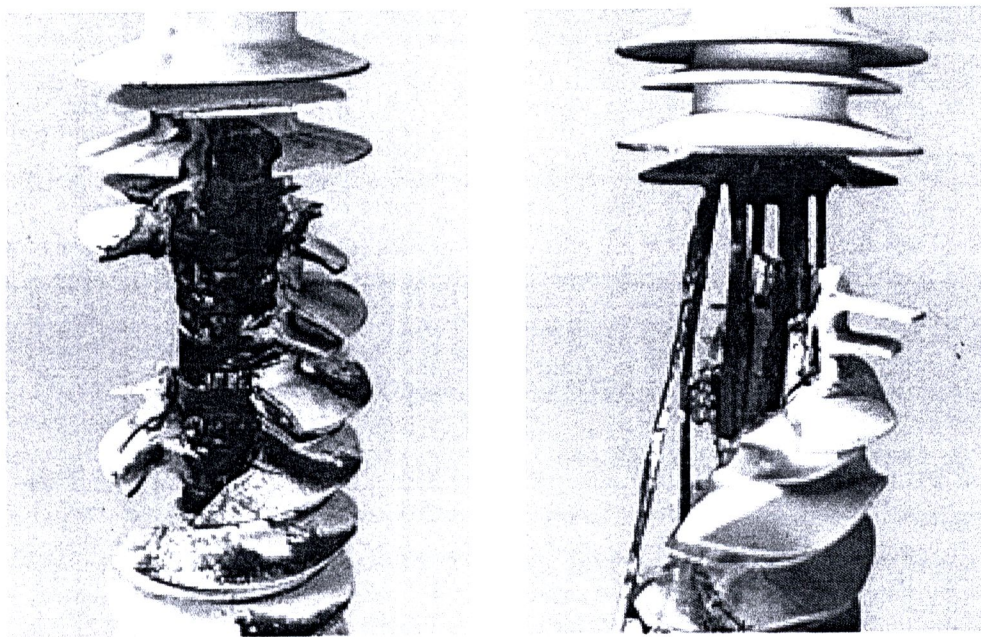
รูปที่ 2.9 ภาพขยายแสดงการเปลี่ยนแปลงโครงสร้างจุลภาคของบล็อก ZnO ก่อนใช้งานและหลังจากมีกระแสจากแรงดันพัลส์ไฟ lodผ่าน [17]



รูปที่ 2.10 สภาพความเสียหายของกับดักเสิร์ฟจากการใช้งาน
ที่มา : กองวิจัย การไฟฟ้าส่วนภูมิภาค, 2010



รูปที่ 2.11 สภาพความเสียหายของกันดักเสิร์จแบบที่มีเปลือกโครงสร้างทำจากโพลิเมอร์
ที่มา : Keith Hill , Surge Arrester And Testing, Doble Engineering Company , 2004



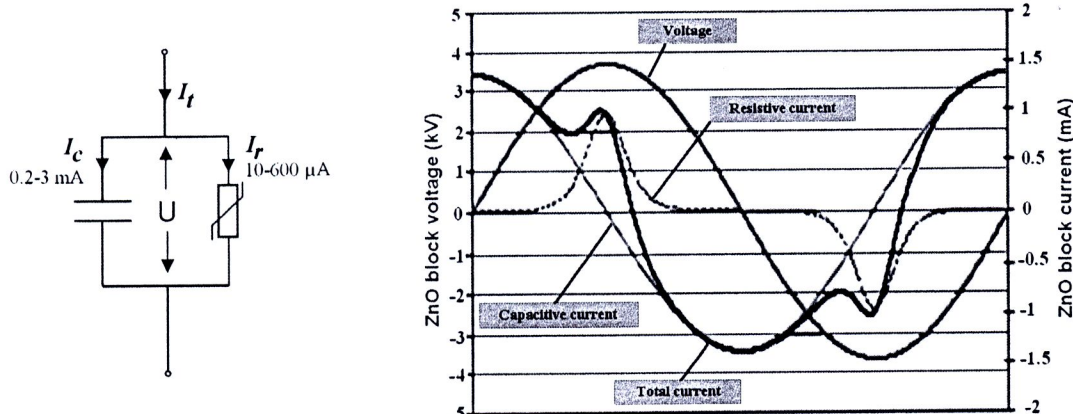
รูปที่ 2.12 สภาพความเสียหายของกันดักเสิร์จแบบที่มีเปลือกโครงสร้างทำจากโพลิเมอร์
ที่มา : James Taylor , ABB Power Products , Ludvika , Sweden

เนื่องจากคุณสมบัติทางความต้านทานของวาริสเตอร์ชนิด ZnO ไม่เป็นเชิงเส้นตรง กระแสแสร้งจากความต้านทาน จึงมีส่วนประกอบของอนิยมิกัดับที่ 3 เป็นอัตราส่วนโดยตรงกับกระแสแสร้งความต้านทาน ดังนั้นถ้าเราแยกกระแสแสร้งของอนิยมิกัดับที่ 3 ออกจากกระแสแสร้งไว้ให้รวมของกับดัก เสิร์จที่ไฟล์ผ่านสายกราว์ล์ดินได้ ก็จะสามารถนำผลไปใช้คาดคะเนการเสื่อมสภาพของกับดักเสิร์จได้

แต่จากการยงานการศึกษาข้างพบร่วมกับการวัดกระแสแสร้งของอนิยมิกัดับ 3 ของกับดักเสิร์จ จะสามารถใช้ในการบ่งบอกการเสื่อมสภาพของกับดักเสิร์จ เนื่ะในบางกรณีเท่านั้น ไม่สามารถบ่งบอกการเพิ่มขึ้นของกระแสแสร้งความต้านทานเนื่องจากความต้านทานที่ลดลงอย่างเป็นเชิงเส้นตรง เนื่องจากการเสื่อมสภาพทางเคมี หรือเมื่อมีความชื้นเข้าไปในกับดักเสิร์จ [6]

2.3 เทคนิคการตรวจสอบการเสื่อมสภาพของกับดักเสิร์จชนิด ZnO

เมื่อกับดักเสิร์จต่ออยู่กับระบบกำลังไฟฟ้าที่ระดับแรงดันใช้งานปกติ จะมีกระแสแสร้งไว้ไฟล์ผ่านกับดักเสิร์จ ซึ่งประกอบด้วยกระแสแสร้ง 2 ส่วน คือกระแสแสร้งความต้านทาน (capacitive leakage current) มีค่าขอดอยู่ในช่วงประมาณ $0.2 \text{ mA} - 3 \text{ mA}$ กับกระแสแสร้งความต้านทาน (resistive leakage current) มีค่าขอดอยู่ในช่วง $10 \mu\text{A} - 600 \mu\text{A}$ ซึ่งมีขนาดต่ำกว่ากระแสแสร้งความต้านทานมาก ดังแสดงในรูปที่ 2.13 เนื่องจากกระแสแสร้งความต้านทานขึ้นอยู่กับสภาพความเป็นจนวนของ ZnO บล็อกในกับดักเสิร์จโดยตรง จึงนำมาใช้เป็นตัวบ่งชี้ความเสื่อมสภาพของกับดักเสิร์จ ซึ่งมีความไวต่อการเปลี่ยนแปลงคุณลักษณะทาง แรงดันและกระแส ตามสภาพของกับดักเสิร์จ ขนาดของกระแสแสร้งความต้านทานจะเปลี่ยนแปลงไปตามอุณหภูมิและระดับแรงดัน ดังนั้นการวัดค่ากระแสแสร้งความต้านทาน จึงควรต้องระบุอุณหภูมิ และระดับแรงดันขณะทำการวัดไว้ด้วย



รูปที่ 2.13 ออสซิลโลแกรมของกระแสแสร้งความต้านทาน (I_r) กระแสแสร้งความต้านทาน (I_c) และกระแสแสร้งไว้ไฟรวม (I_t) ของกับดักเสิร์จ [14]

ในทางปฏิบัติ การวัดกระแสรั่วไฟลอดโดยเครื่องมือวัดกระแสตามปกติทั่วไป จะสามารถวัดได้เฉพาะกระแสรั่วไฟลอร์ม ซึ่งประกอบด้วยกระแสรั่วค่าปาชิติฟ และกระแสรั่วความต้านทานรวมกัน โดยเหตุที่กระแสรั่วความต้านทานมีสัดส่วนที่น้อยมาก และยังมีมุมเฟสต่างจากกระแสรั่วค่าปาชิติฟ 90 องศา ดังนั้นการเปลี่ยนแปลงค่ากระแสรั่วความต้านทาน จึงส่งผลให้เห็นการเปลี่ยนแปลงของกระแสรั่วไฟลอร์มน้อยมาก อีกทั้งกระแสรั่วไฟลอร์มยังมีค่าเปลี่ยนแปลงไปตามลักษณะการติดตั้งกับดักเสิร์จ จากการเปลี่ยนแปลงค่าสเตรย์ค่าปาชิติฟตามลักษณะการติดตั้งกับดักเสิร์จ ดังนั้นแม้ว่าการวัดกระแสรั่วไฟลอร์มจะเป็นวิธีหนึ่งที่นิยมใช้ในการตรวจสอบกับดักเสิร์จเพราบง่ายและรวดเร็ว แต่มีข้อจำกัดในเรื่องของความไวในการตรวจจับสภาพความผิดปกติของกับดักเสิร์จ จึงต้องหาวิธีการ และเทคนิคที่เหมาะสม เพื่อหาค่าส่วนประกอบที่เป็นกระแสรั่วความต้านทานจากค่ากระแสรั่วไฟลอร์มรวม เพื่อนำมาใช้ในการประเมินสภาพของกับดักเสิร์จ ได้อย่างมีประสิทธิภาพ

การหาค่ากระแสรั่วความต้านทานจากค่ากระแสรั่วไฟลอร์ม สามารถแบ่งวิธีการวัดออกได้เป็น 3 รูปแบบหลัก โดยแต่ละรูปแบบยังแบ่งย่อยออกได้หลายวิธี [11]

รูปแบบ A การวัดกระแสรั่วความต้านทานโดยตรง แบ่งออกได้เป็น 4 วิธี (A1 – A4) ตามวิธีการที่ใช้ในการแยกกระแสรั่วความต้านทานออกจากกระแสรั่วไฟลอร์ม

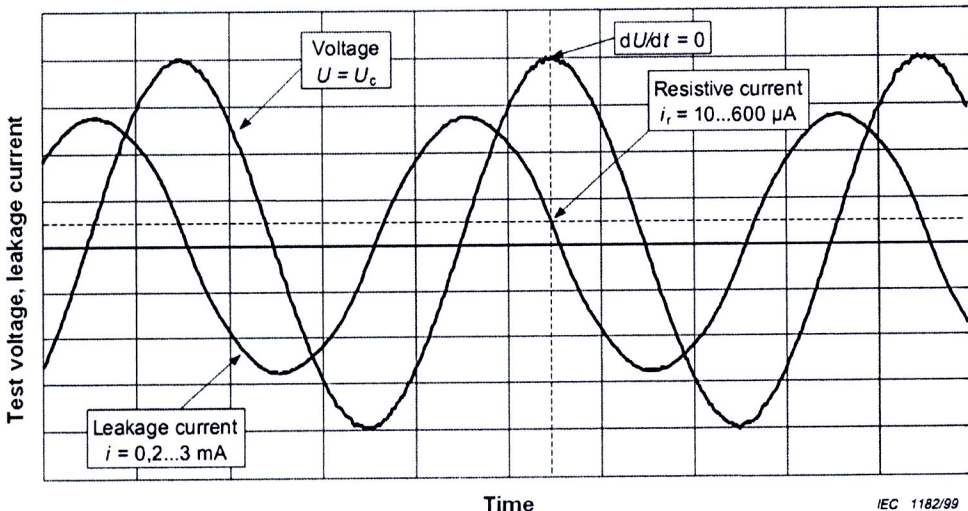
วิธี A1 การใช้สัญญาณแรงดันเป็นค่าอ้างอิง

ค่ากระแสรั่วความต้านทานสามารถหาได้จากค่ากระแสรั่วไฟลอร์ม ในตำแหน่งที่แรงดันตกคร่อมกับดักเสิร์จนมีค่าสูงสุด ($dU/dt = 0$) ดังแสดงในรูปที่ 2.14 เพราะที่ตำแหน่งนี้กระแสรั่วค่าปาชิติฟจะมีค่าเป็นศูนย์ ค่าที่วัดได้จึงเป็นค่าของกระแสรั่วความต้านทาน วิธีการนี้มักนำไปใช้ทดสอบในห้องปฏิบัติการ ได้อย่างแม่นยำเพียงพอ เนื่องจากสามารถใช้โวลเตจดิไวดีวีเดอร์ (voltage divider) ที่มีความคลาดเคลื่อนของมุมเฟสต่ำๆ วัดแรงดันแรงดันตกคร่อมกับดักเสิร์จ เพื่อเป็นสัญญาณแรงดันอ้างอิง

ในทางปฏิบัติ ความเที่ยงตรงจะถูกจำกัด โดย เฟสชิฟท์ (phase-shift) ของสัญญาณอ้างอิง และความคลาดเคลื่อนของขนาดแรงดันไฟฟ้าและมุมเฟส ที่ตกคร่อม ความต้านทานที่ไม่เป็นเชิงเส้นตรงชนิดเมทัลออกไซด์ (non-linear metal oxide resistors) ด้านปลายที่ต่อลงดินของกับดักเสิร์จ จากการการกระจายแรงดันที่ไม่สม่ำเสมอตามความยาวของกับดักเสิร์จ อันเป็นผลมาจากการอิทธิพลของสเตรย์ค่าปาชิติฟที่กระทำต่อคืนและอุปกรณ์ที่อยู่ข้างเคียง นอกเหนือนี้ถ้าแหล่งจ่ายแรงดันมีหาร์โนนิกปนอยู่ด้วย ก็จะส่งผลให้ความแม่นยำของวิธีนี้ลดน้อยลง



การนำวิธีการนี้ไปใช้งานในภาคสนามอาจจะไม่สะดวก เนื่องจากจะต้องมีสัญญาณแรงดันมาใช้อ้างอิง การต่อชั่วคราวเข้ากับทางด้านแรงต่างของ หน้าแปลงวัดแรงดันมีความยุ่งยากมาก อีกทั้งกระแสไฟฟ้าซึ่งถูกเหนี่ยวแน่นขึ้นในสายต่อลงดินของกับดักเริ่จ จากไฟฟ้าข้างเคียง ก็ส่งผลให้ความแม่นยำลดลง



รูปที่ 2.14 การหากระแสร่วมความด้านทานจากการแสร้งวัดรวมที่ค่าよดของแรงดัน [11]

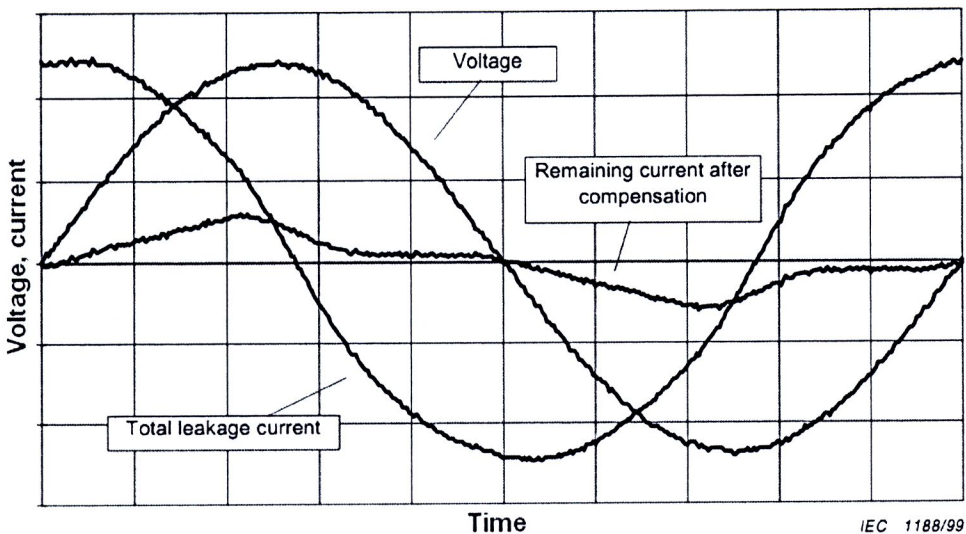
วิธี A2 การชดเชยส่วนประกอบค่าปาซิฟโดยใช้สัญญาณแรงดัน

วิธีนี้จะใช้สัญญาณแรงดันมาชดเชยส่วนประกอบค่าปาซิฟ ซึ่งจะช่วยเพิ่มความไวในการวัดค่ากระแสร่วมความด้านทานเพิ่มมากขึ้น โดยใช้หลักการของวงจร HV บริดจ์ (HV bridge) ซึ่งมีอิปรับแบน ค่าปาซิฟ-รีซิสติฟ จนทำให้ส่วนประกอบค่าปาซิฟของกระแสร่วงไหลดสมดุล คงเหลือแต่ส่วนความด้านทานที่ไม่เป็นเชิงเส้นตรง ซึ่งสามารถพิเคราะห์ได้โดยใช้ออสซิลโลสโคป ส่วนประกอบความด้านทานจะหาได้ ตรงตำแหน่งที่แรงดันมีค่าสูงสุด เช่นเดียวกับวิธี A1

บริดจ์จะสมดุลเมื่อแรงดันมีค่าเข้าใกล้ศูนย์ ซึ่งกระแสค่าปาซิฟจะอยู่ที่ค่าสูงสุด แต่อย่างไรก็ตาม ค่าค่าปาซิฟแต่ละช่องกับดักเริ่จมีค่าไม่คงที่ โดยจะเพิ่มขึ้นตามแรงดันดังนั้น เมื่อจะปรับบริดจ์ชดเชยอย่างไร กระแสส่วนที่เหลือจึงไม่ได้มีเฉพาะส่วนประกอบความด้านทาน แต่จะคงมีส่วนประกอบค่าปาซิฟรวมอยู่ด้วยเสมอ ดังแสดงในรูปที่ 2.15

เนื่องจากจะต้องมีสัญญาณแรงดันมาใช้อ้างอิง วิธีการนี้สามารถใช้ได้กับการทดสอบในห้องปฏิบัติการ แต่ไม่สะดวกที่จะนำไปใช้งานในภาคสนาม และมีข้อจำกัด

เช่นเดียวกับวิธี A1 ความเที่ยงตรงจะลดลงเนื่องจาก เฟสชิฟท์ของแรงดัน และกระแสจากอิทธิพลของเฟสข้างเคียง



รูปที่ 2.15 กระแสคงเหลือหลังจากการชดเชยกระแสไฟฟ้า [11]

วิธี A3 การชดเชยองค์ประกอบค่าปัจจิติฟโดยไม่ใช้สัญญาณแรงดัน

วิธีการนี้ไม่จำเป็นต้องใช้สัญญาณแรงดันมาอ้างอิง โดยอาศัยหลักการสังเคราะห์สัญญาณอ้างอิงความถี่มูลฐาน (fundamental frequency) ขึ้นมาจากการข้อมูลที่ได้จากการแสร้งร่วงไฟล์ โดยการปรับขนาดและมุมเฟสให้เหมาะสม โดยอัตโนมัติหรือโดยอาศัยออซซิลโลสโคป แล้วนำมาชดเชยส่วนประกอบค่าปัจจิติฟของกระแสร่วงไฟล์ วิธีการนี้สามารถนำไปประยุกต์ใช้ในระดับความซับซ้อนที่ต่างๆ กัน

วิธีนี้สามารถนำไปใช้งานในภาคสนาม ปัญหาที่สำคัญของวิธีนี้คือหาร์โนนิกที่ปนอยู่ในแรงดัน ซึ่งทำให้มีกระแสหาร์โนนิกค่าปัจจิติฟไปบุกวนส่วนประกอบความด้านทาน อีกทั้งสัญญาณชดเชยที่สังเคราะห์ขึ้น เป็นกระแสค่าปัจจิติฟแบบเชิงเส้นตรง ซึ่งไม่สอดคล้องกับสภาพความเป็นจริง จึงมีปัญหารือถ่องความแม่นยำเข่นเดียวกับวิธี A2 อีกทั้ง เฟสชิฟท์ของแรงดันและกระแส เนื่องจากการรบกวนของเฟสข้างเคียง ก็ส่งผลต่อความแม่นยำด้วย เช่นเดียวกับวิธี A1 และ A2

วิธี A4 การชดเชยส่วนประกอบค่าปัจจิติฟโดยการรวมกระแสร่วงไฟล์ทั้งสามเฟส

วิธีการนี้ใช้สมมุติฐานที่ว่า การนำกระแสร่วงไฟล์จากกับดักเริร์จทั้งสามเฟสรวมกัน จะทำให้กระแสค่าปัจจิติฟทั้งสามเฟสหักล้างกันหมดไป คงเหลือแต่หาร์โนนิกของ

กระแสความด้านท่านจากกับคักเสิร์จทั้งสามเพส เนื่องจากกระแสความด้านท่านที่ความถี่มูลฐาน ซึ่งมีขนาดเท่ากัน ก็จะหักล้างกันหมดเช่นเดียวกัน โดยเมื่อกระแสมาป่าชิตพังคงที่ถักกับคักเสิร์จตัวไม่มีกระแสความด้านท่านเพิ่มมากขึ้น ก็จะทำให้กระแสผลรวมมีค่าเพิ่มขึ้นด้วย วิธีนี้ไม่จำเป็นต้องใช้แรงดันเป็นสัญญาณอ้างอิง

วิธีนี้สามารถนำไปใช้งานจากการนำวิธีการนี้ไปใช้งานในภาคสนาม พบว่ามีข้อเสียที่สำคัญ คือ ในสภาพความเป็นจริง กระแสไฟฟ้าของทั้งสามเฟสมีไม่ค่าเท่ากันตามสมมุติฐาน ค่าค่าปัจจัยเด่นซึ่งเท่ากัน เหล่าเมื่อมีการควบคุมระยะทางเรขาคณิตอย่างดีเพียงพอเท่านั้น อย่างเช่นในสวิตช์เกียร์แบบวนวนแกส นอกจากนี้ สาร์โนนิกในแรงดันของระบบไฟฟ้า ก็ยังทำให้เกิดสาร์โนนิกในกระแสพลรวมด้วย ส่งผลให้เกิดความคลาดเคลื่อนในการวัดกระแสความต้านทาน

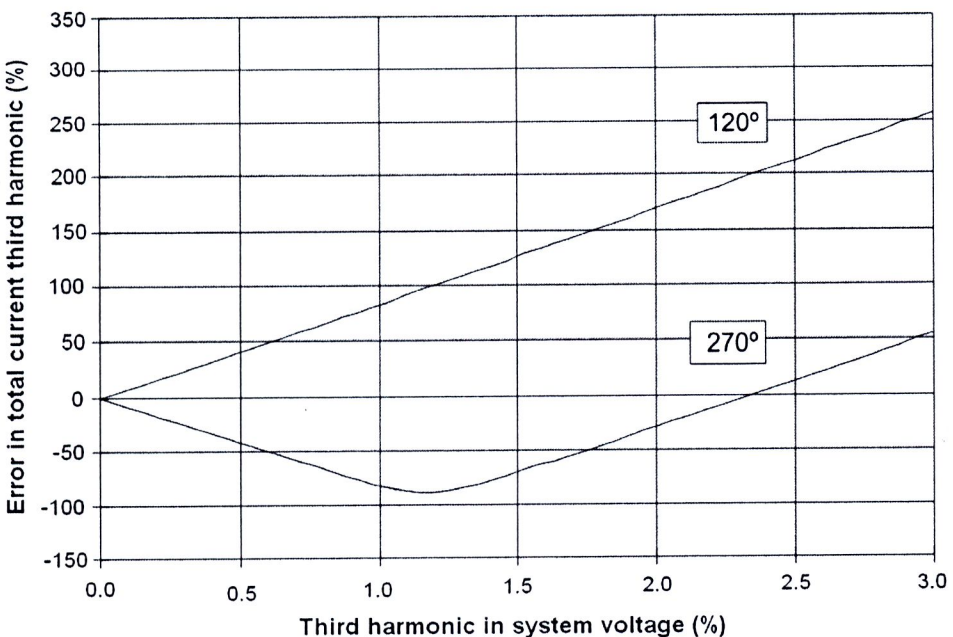
รูปแบบ B การหากระแสร์ว์ความด้านท่านทางอ้อม ด้วยการวิเคราะห์สาร์โมนิกของกระแสร์ว์ไหลดรวม แบ่งออกได้เป็น 3 วิธี (B1 – B3) โดยอาศัยคุณลักษณะเฉพาะทางความด้านท่านของวาร์สเตอร์บล็อกในกับดักเสิร์จ ที่ไม่เป็นเชิงเส้นตรง ทำให้เกิดส่วนประกอบกระแสร์โมนิกขึ้นในกระแสร์ว์ไหลดรวมของกับดักเสิร์จ โดยส่วนประกอบกระแสร์โมนิกจะขึ้นอยู่กับขนาดของกระแสร์ว์ความด้านท่าน และระดับความไม่เป็นเชิงเส้นตรงของความด้านท่าน ซึ่งเปรียบตามอุณหภูมิและขนาดแรงดัน โดยทั่วไปจะใช้ส่วนประกอบสาร์โมนิกลำดับที่ 3 ของกระแสร์ว์ไหลดรวม เป็นบ่งชี้ขนาดของกระแสร์ว์ความด้านท่าน แต่การวัดปริมาณส่วนประกอบสาร์โมนิกลำดับที่ 3 ในกระแสร์ว์ไหลดรวม อาจได้รับผลกระทบจากสาร์โมนิกลำดับที่ 3 ในแรงดันไฟฟ้าของระบบ ซึ่งทำให้มีกระแสร์โมนิกลำดับที่ 3 จากกระแสร์มาปะซิตีฟของกับดักเสิร์จ รบกวนการวัดค่ากระแสร์ว์ความด้านท่าน

วิธี B1 การวิเคราะห์อาร์มอนิกลำดับที่ 3

วิธีนี้อาจสัยหลักการที่ว่า ลักษณะความไม่เชิงเส้นตรง ทางคุณลักษณะ แรงดัน-กระแทก ของกับดักเสริร์จ ทำให้เกิดส่วนประกอบhaar์โนนิกในกระแสเรสร้าไว้ให้รวม จากสมมุติฐานที่ให้ส่วนประกอบhaar์โนนิกทั้งหมด เกิดจากกระแสเรสร้าความด้านท่านที่ไม่เป็นเชิงเส้นตรง จึงไม่จำเป็นต้องใช้แรงดันเป็นสัญญาณอ้างอิง ส่วนประกอบhaar์โนนิก จะขึ้นอยู่กับขนาดของกระแสเรสร้าความด้านท่าน และระดับความไม่เป็นเชิงเส้นของคุณลักษณะ แรงดัน-กระแทก ขนาดแรงดันและอุณหภูมิซึ่งมีผลต่อคุณลักษณะความไม่เป็นเชิงเส้น จึงมีผลต่อการแปรเปลี่ยนส่วนประกอบhaar์โนนิกด้วย

กระแสรั่วความต้านทานมีส่วนประกอบชาร์มนิเกิลลำดับที่ 3 เป็นสัดส่วนสูงที่สุด ดังนั้นโดยส่วนใหญ่จึงมักเลือกใช้ชาร์มนิเกิลลำดับที่ 3 ในการวัดกระแสรั่วความต้านทาน เพื่อตรวจสอบสภาพของกับดักเสริร์จ การแปลงค่ากระแสชาร์มนิเกิลลำดับที่ 3 ให้เป็นระดับกระแสรั่วความต้านทาน จะต้องอาศัยข้อมูลจากผู้ผลิต หรือข้อมูลจากการวัดในห้องปฏิบัติการ

วิธีนี้สามารถนำไปใช้งานในภาคสนาม จากการนำไปใช้งานพบว่ามีปัญหาหลัก คือ ความอ่อนไหวต่อชาร์มนิเกิลในแรงดันไฟฟ้าของระบบ ซึ่งจะทำให้เกิดกระแสชาร์มนิเกิลคาปซิติฟ ในขนาดที่ใกล้เคียงกับกระแสชาร์มนิเกิลที่เกิดจากความต้านทานที่ไม่เชิงเส้นตรง ของกับดักเสริร์จ ทำให้กระแสชาร์มนิเกิลที่วัดได้มีค่าผิดพลาด รูปที่ 2.16 แสดงค่าความคลาดเคลื่อนในการวัดกระแสชาร์มนิเกิลลำดับที่ 3 ในพังก์ชั่นของส่วนประกอบชาร์มนิเกิลลำดับที่ 3 ของแรงดันระบบ จากรูปยังแสดงให้เห็นถึงผลจากชาร์มนิเกิลลำดับที่ 3 ของแรงดันที่ขนาดและมุมเฟสค่าต่างๆ กัน



รูปที่ 2.16 แสดงถ่ายความคลาดเคลื่อนที่เป็นไปได้จากการวัดกระแสรั่วความต้านทานที่ได้จากการวิเคราะห์กระแสชาร์มนิเกิลลำดับที่ 3 เมื่อมีส่วนประกอบชาร์มนิเกิลลำดับที่ 3 ของแรงดันที่ขนาดและมุมเฟสค่าต่างๆ [32]

วิธี B2 การวิเคราะห์อาร์มอนิกลำดับที่ 3 ที่มีการชดเชยอาร์โมนิกในแรงดัน

วิธีการนี้อาศัยหลักการเดียวกันกับ วิธี B1 แต่ลดความอ่อนไหวจากผลของอาร์โมนิกในแรงดันลง ด้วยการใส่สัญญาณกระแส เพื่อชดเชยกระแสอาร์โมนิกค่าปั๊ติฟลำดับที่ 3 ของกับดักเสริร์จ โดยสัญญาณกระแสจะได้จากโพรบวัดสนามไฟฟ้า (field probe) ซึ่งวางในตำแหน่งตรงฐานของกับดักเสริร์จ หลังจากทำการปรับสเกลของกระแสอาร์โมนิกที่เหนี่ยวนำจากสนามไฟฟ้ามาที่โพรบให้เหมือนกัน ก็นำไปหักล้างกับกระแสอาร์โมนิกรวม จะได้ผลลัพธ์ของกระแสอาร์โมนิกที่เกิดจากการแสวงหาความต้านทานที่ไม่เป็นเชิงเส้นของกับดักเสริร์จ การแปลงค่าอาร์โมนิกให้เป็นระดับกระแสร่วมความต้านทาน ต้องอาศัยข้อมูลจากผู้ผลิต ดังที่กล่าวไว้ในวิธี B1 วิธินี้เหมาะสมสำหรับนำไปใช้ในการตรวจสอบสภาพของกับดักเสริร์จในภาคสนาม

วิธี B3 การวิเคราะห์อาร์โมนิกอันดับ 1

วิธีการนี้จะหาส่วนประกอบฐาน (fundamental component) ของกระแสร่วมความต้านทาน ซึ่งได้จากการกรองและการอินทิเกรท กระแสร่วมไว้คร่าว ทำให้ได้สัญญาณซึ่งเป็นปฏิภาคกับส่วนประกอบความต้านทาน

อิทธิพลจากอาร์โมนิกในแรงดันไฟฟ้าของระบบ ไม่ส่งผลต่อการวัด เนื่องจากการใช้เฉพาะส่วนประกอบฐานของแรงดันและกระแสเท่านั้น แต่ข้อจำกัดของวิธีการนี้คือต้องการสัญญาณแรงดัน ซึ่งอาจได้มาจากหม้อแปลงวัดแรงดัน ความแม่นยำขึ้นกับเฟสชิฟท์ ของกระแสและแรงดัน เช่นเดียวกับวิธี A1 – A3

รูปแบบ C การหากระแสร่วมความต้านทานโดยตรงจากกำลังสูญเสีย

กำลังสูญเสียหาได้จากการอินทิเกรท ผลคูณของค่าชั่วขณะ (instantaneous value) ระหว่างแรงดัน กับ กระแสร่วม หารด้วยเวลา กำลังสูญเสียจะอยู่ในเทอมผลคูณของค่า r.m.s. ของกระแสร่วมความต้านทาน กับค่า r.m.s. ของแรงดันที่ตกลงร่วมกับดักเสริร์จ อิทธิพลของอาร์โมนิกในแรงดันไฟฟ้าของระบบถูกทำให้ลดน้อยลงอย่างมาก จากผลของการบวนการคูณและการอินทิเกรท ข้อเสียหลักของวิธีการนี้คือต้องการสัญญาณแรงดัน ความแม่นยำในการวัดขึ้นกับเฟสชิฟท์ ของกระแสและแรงดัน เนื่องจากเฟสข้างเคียง เช่นเดียวกับวิธี A1 – A3

ตารางที่ 2.1 สรุปภาพรวมคุณลักษณะของการวัดกระแสเร็วไหลด้วยวิธีการวัดภาคสนาม (on-site) แบบต่างๆ ในด้านประสิทธิผลการนำไปใช้งาน และปัจจัยที่มีอิทธิพลต่อผลการวัด

ตารางที่ 2.1 สรุปภาพรวมคุณลักษณะของการวัดกระแสเร็วไหลด้วยวิธีการวัดภาคสนามแบบต่างๆ ในด้านประสิทธิผลการนำไปใช้งาน และปัจจัยที่มีอิทธิพลต่อผลการวัด [10, 11]

วิธีการวัดกระแสเร็วไหล	วิธีการ	ความอ่อนไหวต่อ			ประสิทธิผลของ การตรวจวัดกระแส	การนำ ไปใช้งาน	
		การประเมินของแรงดัน	ไฟสีฟ้าในการวัด กระแสเร็วแรงดัน	กรวยท่อผ่านแม่			
การวัดกระแสเร็วไหลรวม		ต่ำ	ต่ำ	ปานกลาง	ต่ำ	ต่ำ	แพร่หลาย
การวัดกระแสเร็วความด้านทาน							
– โดยใช้แรงดันอ้างอิง	A1	ปานกลาง	สูง	สูง	ปานกลาง	สูง	จำกัด
– โดยการชดเชยค่าปานเฉลี่ยเตอร์	A2	ปานกลาง	สูง	สูง	ปานกลาง	สูง	จำกัด
– โดยการชดเชยค่าวิธีการสังเคราะห์	A3	ปานกลาง	สูง	สูง	ปานกลาง	ต่ำ	ไม่มีข้อมูล
– โดยการหักล้างกระแสสถาปัตย์พ	A4	สูง	สูง	สูง	ต่ำ	ต่ำ	จำกัด
การวัดกระแสท่อที่มนิเกลงกระแสเร็วไหล							
– โดยใช้ชาร์โมนิกลำดับที่ 3	B1	สูง	ต่ำ	ต่ำ	ปานกลาง	ต่ำ	แพร่หลาย
– โดยใช้ชาร์โมนิกลำดับ 3 ที่มีการชดเชย	B2	ต่ำ	ต่ำ	ต่ำ	ปานกลาง	mean	แพร่หลาย
– โดยใช้ชาร์โมนิกลำดับที่ 1	B3	ต่ำ	สูง	สูง	สูง	สูง	จำกัด
การวัดกำลังไฟฟ้าสูญเสีย	C	ต่ำ	สูง	สูง	ปานกลาง	สูง	ไม่มีข้อมูล

2.4 สรุปทฤษฎีและงานวิจัยที่เกี่ยวข้อง

จากการศึกษางานวิจัยที่เกี่ยวข้องพบว่า การวัดกระเพื่อความต้านทาน ในขณะที่กับดักเสิร์จติดตั้งใช้งานอยู่ในระบบ โดยวัดค่ากระแสเร็วให้รวมกับกับดักเสิร์จ แล้วนำมาระยะหห้ากระเพื่าร์โมนิกลำดับที่ 3 จะเป็นวิธีที่เหมาะสมกับการไปใช้งานในภาคสนาม เพราะไม่ต้องยุ่งยากเทียบกับการติดตั้งหม้อแปลงดังนี้หากับระบบขณะใช้งาน อันอาจเกิดอันตรายต่อผู้ปฏิบัติงาน และอาจเป็นสาเหตุของการขัดข้องด้านการจ่ายพลังงานไฟฟ้า

อย่างไรก็ตามส่วนประกอบแรงดันษาร์โมนิกลำดับที่ 3 ของแรงดันระบบ ซึ่งทำให้มีส่วนประกอบกระเพื่าร์โมนิกลำดับที่ 3 ในกระแสค่าปาซิติฟ ซึ่งจะให้รวมกับกระเพื่อความต้านทานเป็นกระเพื่อว่าให้รวมของกับดักเสิร์จ มีผลทำให้การวัดค่ากระเพื่อความต้านทานคลาดเคลื่อนจากความเป็นจริง จากการศึกษาวิจัยยังค้นพบอีกว่า นอกจากขนาดเปลอร์เซ็นต์ของแรงดันษาร์โมนิกลำดับที่ 3 จะทำให้เกิดความคลาดเคลื่อนในการวัดแรงดันษาร์โมนิกลำดับที่ 3 ยังมีผลต่อความคลาดเคลื่อนของการวัดกระเพื่อความต้านทานอย่างมากด้วย

ดังนั้นในการออกแบบระบบแสดงสถานะของกับดักเสิร์จโดยการแยกกระเพื่าร์โมนิกลำดับที่ 3 ออกจากกระเพื่อว่าให้รวม ควรจะต้องมีการชดเชยผลจากขนาดและมุมไฟส่องแรงดันษาร์โมนิกลำดับที่ 3 ของแรงดันระบบด้วย

งานวิจัยนี้จะใช้วิธี การวิเคราะห์กระเพื่าร์โมนิกอันดับ 3 แบบมีการชดเชยษาร์โมนิกในแรงดัน (วิธี B2) [10, 11] ซึ่งจะใช้แบบจำลองในโปรแกรม MATLAB เป็นเครื่องมือในการศึกษาวิเคราะห์กระเพื่อว่าให้ และใช้โปรแกรม LabVIEW เป็นเครื่องมือในขั้นตอนวิธี (algorithm) แยกส่วนประกอบกระเพื่อความต้านทานออกจากกระเพื่อว่าให้รวม โดยจะมุ่งเน้นไปที่ย่านกระเพื่อตัว (region I) ที่ระดับแรงดันใช้งานของระบบกำลังไฟฟ้า